

В. В. Семкин, А. М. Чугай

## Нормализованная $\Phi$ -функция параллелепипеда и сфероцилиндра

(Представлено членом-корреспондентом НАН Украины Ю. Г. Стояном)

*Построена нормализованная  $\Phi$ -функция для параллелепипеда и сфероцилиндра. Данная  $\Phi$ -функция может быть использована для построения математической модели задачи компоновки объектов с учетом заданных расстояний между ними.*

Интенсивное развитие математических методов решения экстремальных задач обусловили успехи в поиске оптимальных решений задач геометрического проектирования [1]. Одним из важных направлений развития исследуемого класса задач является построение их математических моделей и разработка методов их решения. Особый интерес представляют задачи нерегулярного размещения трехмерных геометрических объектов, в которых производится поиск оптимального расположения объектов в некоторой области пространства при соблюдении ограничений на положение этих объектов. Данные ограничения задаются обычно в виде минимальных или максимальных допустимых расстояний между геометрическими объектами и между геометрическими объектами и границей области размещения.

Целью данной работы является построение нормализованной  $\Phi$ -функции [2] для параллелепипеда и сфероцилиндра, которая является основным инструментом при построении математических моделей задач упаковки рассматриваемых объектов.

Пусть задан параллелепипед

$$P = \{(x, y, z) \in R^3 : -a \leq x \leq a, -b \leq y \leq b, -c \leq z \leq c\}$$

и сфероцилиндр  $S$ , образованный объединением цилиндра

$$C = \{(x, y, z) \in R^3 : x^2 + y^2 \leq r^2, -h \leq z \leq h\}$$

и двух сферических сегментов высотой  $w_j > 0$ , отсекаемых от шаров

$$O_j = \{(x, y, z) \in R^3 : x^2 + y^2 + z^2 \leq \rho_j^2\},$$

где  $\rho_j = (r^2 + w_j^2)/(2w_j)$ ,  $j = 1, 2$ . Также обозначим  $\tau_j = \rho_j - w_j \geq 0$ ,  $j = 1, 2$  (рис. 1).

Для параллелепипеда и сфероцилиндра допускаются только аффинные преобразования трансляции. Пусть  $u_1 = (x_1, y_1, z_1)$  и  $u_2 = (x_2, y_2, z_2)$  — векторы трансляции параллелепипеда и сфероцилиндра соответственно.

Для построения  $\Phi$ -функции зададим порядок нумерации вершин и ребер параллелепипеда, показанный на рис. 2.

Для математического описания расположения рассматриваемых объектов на заданном расстоянии достаточно описать в аналитическом виде

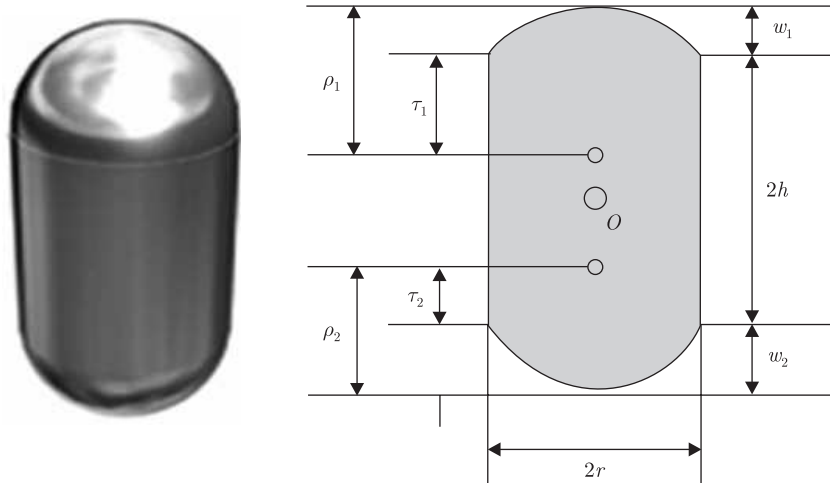


Рис. 1. Сфероцилиндр

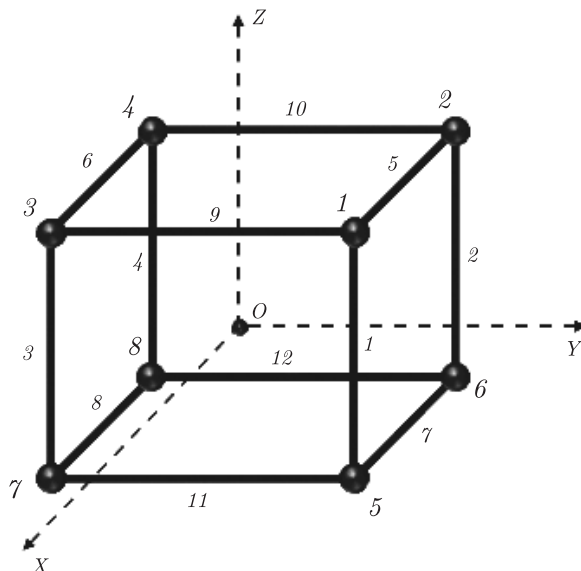


Рис. 2. Порядок нумерации ребер и вершин параллелепипеда

расстояние между одной из граней параллелепипеда и боковой цилиндрической гранью сфероцилиндра;

расстояние между одним из ребер параллелепипеда и поверхностью сфероцилиндра;

расстояние между одной из вершин параллелепипеда и поверхностью сфероцилиндра, а также построить  $d$ -уровень нормализованной  $\Phi$ -функции при  $u_1 = 0$ .

Чтобы определить расстояние между гранями параллелепипеда и сфероцилиндром, введем следующие функции:

$$\begin{aligned} \eta_1(u_2) &= x - A, & \eta_2(u_2) &= y - B, & \eta_3(u_2) &= -x - A, \\ \eta_4(u_2) &= -y - B, & \eta_5(u_2) &= z - H - w_2, & \eta_6(u_2) &= -z - H - w_1, \end{aligned}$$

где  $A = a + r$ ,  $B = b + r$ ,  $H = h + c$ .

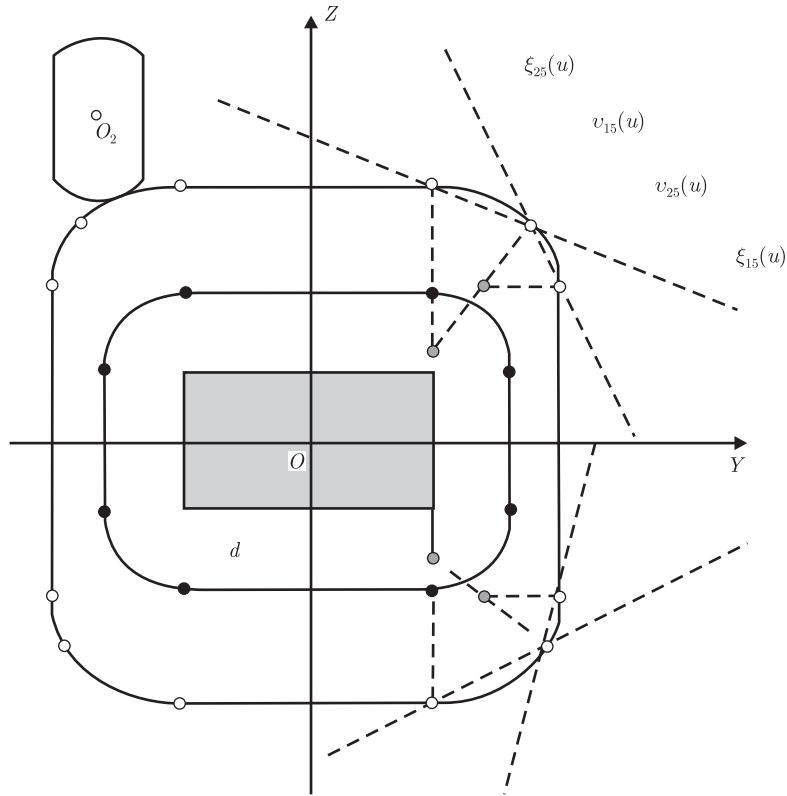


Рис. 3. Сечение поверхности  $d$ -уровня  $\Phi$ -функции плоскостью  $YOZ$

Очевидно, если хотя бы одно из неравенств  $\eta_i(u_2) \geq 0$ , то сфероцилиндр не пересекает ни одну из граней параллелепипеда. Это позволяет построить функцию

$$\chi_1(u_2) = \max_{i=1, \dots, 6} \eta_i(u_2) \tag{1}$$

такую, что если  $\chi_1(u_2) \geq 0$ , то  $\text{int } P \cap \text{int } S = \emptyset$ , где  $\text{int } P$  — внутренность  $P$  [3].

Пусть сечение поверхности  $d$ -уровня  $\Phi$ -функции плоскостью  $YOZ$  имеет вид, представленный на рис. 3, откуда видно, что поверхность  $d$ -уровня формируется не одинаково для различных ребер. Часть поверхности  $d$ -уровня, которая определяет расстояние между ребрами 1–4 и сфероцилиндром, определяется частью поверхности цилиндра, ось которого проходит через соответствующее ребро. Часть поверхности  $d$ -уровня, которая определяет расстояние между ребрами 5–12 и сфероцилиндром, определяется объединением частей поверхностей двух цилиндров, которые отсекаются с помощью плоскостей.

Для того чтобы смоделировать расположение сфероцилиндра на расстоянии  $d$  от ребер 1–4 параллелепипеда, введем такие функции:

$$v_{j_1}(u_2) = \sqrt{\varphi_x^2(u_2) + \varphi_y^2(u_2)} - r,$$

$$\zeta_{j_1}(u_2) = \varphi_x(u_2) + \varphi_y(u_2) - r,$$

где  $\varphi_x(u_2) = (-1)^{k_x} x - a$ ,  $\varphi_y(u_2) = (-1)^{k_y} y - b$ ,  $k_x, k_y \in \{0, 1\}$ ,  $j_1 = k_x + 2k_y + 1$ .

Это дает возможность построить функцию

$$\phi_{j_1}(u_2) = \min\{v_{j_1}(u_2), \zeta_{j_1}(u_2)\}, \quad (2)$$

такую, что если  $\phi_{j_1}(u_2) \geq 0$ , то  $\text{int } P \cap \text{int } S = \emptyset$ .

Для того чтобы определить расстояние между ребрами 5–8 (рис. 2) параллелепипеда и сфероцилиндром, введем следующие функции:

$$\begin{aligned} v_{1j_2}(u_2) &= \sqrt{\varphi_y^2(u_2) + (\varphi_z(u_2) - h + \tau_s)^2} - \rho_s, & \zeta_{1j_2}(u_2) &= \frac{w_s}{r} \varphi_y(u_2) + \varphi_z(u_2) - h - w_s, \\ v_{2j_2}(u_2) &= \sqrt{(\varphi_y(u_2) - r)^2 + (\varphi_z(u_2) - h)^2}, & \zeta_{2j_2}(u_2) &= \varphi_y(u_2) + \frac{r - w_s}{r + w_s} (\varphi_z(u_2) - h) - r, \end{aligned}$$

где  $\varphi_z(u_2) = (-1)^{k_z} z - c$ ,  $k_z \in \{0, 1\}$ ,  $s = \begin{cases} 1, & \text{если } j_2 \in \{7, 8\} \\ 2, & \text{если } j_2 \in \{5, 6\} \end{cases}$ ,  $j_2 = k_y + 2k_z + 5$ .

Построим функции

$$\begin{aligned} \phi_{1j_2}(u_2) &= \min\{v_{1j_2}(u_2), \zeta_{1j_2}(u_2)\}, \\ \phi_{2j_2}(u_2) &= \min\{v_{2j_2}(u_2), \zeta_{2j_2}(u_2)\}, \\ \phi_{j_2}(u_2) &= \max\{\phi_{1j_2}(u_2), \phi_{2j_2}(u_2)\}, \end{aligned} \quad (3)$$

такие, что  $\phi_{j_2}(u_2) \geq 0$ , тогда  $\text{int } P \cap \text{int } S = \emptyset$ .

Для определения расстояния между ребрами 9–12 (рис. 2) параллелепипеда и сфероцилиндром, введем следующие функции:

$$\begin{aligned} v_{1j_3}(u_2) &= \sqrt{\varphi_x^2(u_2) + (\varphi_z(u_2) - h + \tau_s)^2} - \rho_s, & \zeta_{1j_3}(u_2) &= \frac{w_s}{r} \varphi_x(u_2) + \varphi_z(u_2) - h - w_s, \\ v_{2j_3}(u_2) &= \sqrt{(\varphi_x(u_2) - r)^2 + (\varphi_z(u_2) - h)^2}, & \zeta_{2j_3}(u_2) &= \varphi_x(u_2) + \frac{r - w_s}{r + w_s} (\varphi_z(u_2) - h) - r, \end{aligned}$$

где  $s = \begin{cases} 1, & \text{если } j_3 \in \{11, 12\} \\ 2, & \text{если } j_3 \in \{9, 10\} \end{cases}$ ,  $j_3 = k_x + 2k_z + 9$ .

Это дает возможность построить функции

$$\begin{aligned} \phi_{1j_3}(u_2) &= \min\{v_{1j_3}(u_2), \zeta_{1j_3}(u_2)\}, \\ \phi_{2j_3}(u_2) &= \min\{v_{2j_3}(u_2), \zeta_{2j_3}(u_2)\}, \\ \phi_{j_3}(u_2) &= \max\{\phi_{1j_3}(u_2), \phi_{2j_3}(u_2)\}, \end{aligned} \quad (4)$$

такие, что  $\phi_{j_3}(u_2) \geq 0$ , тогда  $\text{int } P \cap \text{int } S = \emptyset$ .

На основании выражений (2)–(4) построим функцию

$$\chi_2(u_2) = \max_{j=1, \dots, 12} \phi_j(u_2), \quad (5)$$

которая обладает следующим свойством: если  $\chi_2(u_2) \geq 0$ , то  $\text{int } P \cap \text{int } S = \emptyset$ .

Из рис. 3 видно, что часть поверхности  $d$ -уровня, которая определяет расстояние между вершиной параллелепипеда и сфероцилиндром, определяется объединением частей поверхностей шара и тора, которые отсекаются с помощью плоскостей и эллиптических цилиндров. Для того чтобы смоделировать расположение сфероцилиндра на расстоянии  $d$  от вершины параллелепипеда, введем следующие функции:

$$\vartheta_i(u_2) = \sqrt{\varphi_x^2(u_2) + \varphi_y^2(u_2) + (\varphi_z(u_2) - h + \tau_s)^2} - \rho_s,$$

$$\begin{aligned}\sigma_i(u_2) &= \frac{w_s}{r} \varphi_x(u_2) + \frac{w_s}{r} \varphi_y(u_2) + \varphi_z(u_2) - h - w_s, \\ \varpi_{i1}(u_2) &= \frac{1}{\sqrt{2}} \sqrt{(\varphi_x(u_2) + \varphi_y(u_2) + \sqrt{2}(\varphi_z(u_2) + \tau_s - h))^2 + (\varphi_x(u_2) - \varphi_y(u_2))^2 - r}, \\ \varpi_{i2}(u_2) &= \frac{1}{\sqrt{2}} \sqrt{(\sqrt{2}\varphi_x(u_2) + \varphi_y(u_2) + \varphi_z(u_2) + \tau_s - h)^2 + (\varphi_y(u_2) - (\varphi_z(u_2) + \tau_s - h))^2 - \rho_s}, \\ \varpi_{i3}(u_2) &= \frac{1}{\sqrt{2}} \sqrt{(\varphi_x(u_2) + \sqrt{2}\varphi_y(u_2) + \varphi_z(u_2) + \tau_s - h)^2 + (\varphi_x(u_2) - (\varphi_z(u_2) + \tau_s - h))^2 - \rho_s},\end{aligned}$$

где  $s = \begin{cases} 1, & \text{если } 5 \leq i \leq 8, \\ 2, & \text{если } 1 \leq i \leq 4, \end{cases} \quad i = k_x + 2k_y + 4k_z + 1.$

Эти функции определяют поверхности шара, плоскости и трех эллиптических цилиндров соответственно. А также введем в рассмотрение функции

$$\begin{aligned}\omega_i(u_2) &= \sqrt{(\sqrt{\varphi_x^2(u_2) + \varphi_y^2(u_2)} - r)^2 + (\varphi_z(u_2) - h)^2}, \\ \delta_i(u_2) &= \varphi_x(u_2) + \varphi_y(u_2) + \frac{r - w_s}{r + w_s}(\varphi_z(u_2) - h) - r, \\ \kappa_{i1}(u_2) &= \frac{1}{\sqrt{2}} \sqrt{(\varphi_x(u_2) + \varphi_y(u_2) + \sqrt{2}(\varphi_z(u_2) - h))^2 + (\varphi_x(u_2) - \varphi_y(u_2))^2 - r}, \\ \kappa_{i2}(u_2) &= \frac{1}{\sqrt{2}} \sqrt{(\sqrt{2}\varphi_x(u_2) + \varphi_y(u_2) - r + \varphi_z(u_2) - h)^2 + (\varphi_y(u_2) - r - (\varphi_z(u_2) - h))^2 - r}, \\ \kappa_{i3}(u_2) &= \frac{1}{\sqrt{2}} \sqrt{(\varphi_x(u_2) - r + \sqrt{2}\varphi_y(u_2) + \varphi_z(u_2) - h)^2 + (\varphi_x(u_2) - r - (\varphi_z(u_2) - h))^2 - r},\end{aligned}$$

которые определяют поверхности тора, плоскости и трех эллиптических цилиндров соответственно.

Исходя из этого, сформируем функцию

$$\chi_3(u_2) = \max_{i=1, \dots, 8} \psi_i(u_2), \quad (6)$$

где

$$\begin{aligned}\psi_{i1}(u_2) &= \min\{\vartheta_i(u_2), \sigma_i(u_2), \varpi_{i1}(u_2), \varpi_{i2}(u_2), \varpi_{i3}(u_2)\}, \\ \psi_{i2}(u) &= \min\{\omega_i(u_2), \delta_i(u_2), \kappa_{i1}(u_2), \kappa_{i2}(u_2), \kappa_{i3}(u_2)\}, \\ \psi_i(u_2) &= \max\{\psi_{i1}(u_2), \psi_{i2}(u_2)\}, \quad i = 1, \dots, 8,\end{aligned}$$

такую, что  $\chi_3(u_2) \geq 0$ , тогда  $\text{int } P \cap \text{int } S = \emptyset$ .

На основании функций (1), (5), (6) нормализованная  $\Phi$ -функция для параллелепипеда и сфероцилиндра может быть представлена в виде

$$\Phi(u_1, u_2) = \max_{i=1, 2, 3} \chi_i(u_2 - u_1). \quad (7)$$

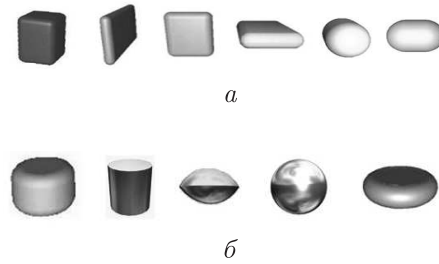


Рис. 4. Объекты, полученные из параллелепипеда и сфероцилиндра

Следует отметить, что построенная  $\Phi$ -функция (7) может быть использована для аналитического описания взаимодействия трехмерных геометрических объектов, граница которых представляет собой эквидистантную поверхность к объектам, полученным в результате вырождения метрических параметров параллелепипеда (рис. 4, а) и сфероцилиндра (рис. 4, б).

Таким образом,  $\Phi$ -функция (7) позволяет строить математические модели задач размещения параллелепипедов, сфероцилиндров и геометрических объектов, приведенных на рис. 4, с учетом заданных кратчайших расстояний между ними.

1. Стоян Ю. Г., Яковлев С. В. Математические модели и оптимизационные методы геометрического проектирования. – Киев: Наук. думка, 1986. – 268 с.
2. Stoyan Yu. G.  $\Phi$ -function and its basic properties // Доп. НАН України. – 2001. – № 10. – С. 39–44.
3. Куратовский К. Топология. Т. 1. – Москва: Мир, 1966. – 594 с.

*Институт проблем машиностроения  
им. А. Н. Подгорного НАН Украины, Харьков*

*Поступило в редакцию 09.07.2012*

**В. В. Сьомкін, А. М. Чугай**

### **Нормалізована $\Phi$ -функція паралелепіпеда та сфероциліндра**

*Побудовано нормалізовану  $\Phi$ -функцію для паралелепіпеда і сфероциліндра. Дана  $\Phi$ -функція може бути використана для побудови математичної моделі задачі компоновки об'єктів з урахуванням заданих відстаней між ними.*

**V. V. Semkin, A. M. Chugay**

### **The normalized $\Phi$ -function for a parallelepiped and a spherocylinder**

*The normalized  $\Phi$ -function for a parallelepiped and a spherocylinder is built. The  $\Phi$ -function can be used for the construction of a mathematical model of a layout design problem with regard for the distances between objects.*